

کمی‌سازی پاسخ بازدارندگی گرمایی جوانه‌زنی بذر در ارقام مختلف کلزا

ابوالفضل درخشان^{۱*}، عبدالمهدي بخشنده^۱، سيد عط الله سيادت^۱، محمدرضا مرادي تلاوت^۱، بهرام اندرزيان^۲

۱. گروه مهندسی تولید و زنتیک گیاهی، دانشکده کشاورزی، دانشگاه علوم کشاورزی و منابع طبیعی خوزستان

۲. بخش تحقیقات اصلاح و تهیه نهال و بذر، مرکز تحقیقات و آموزش کشاورزی و منابع طبیعی خوزستان، سازمان تحقیقات، آموزش و ترویج کشاورزی

تاریخ دریافت: ۹۵/۰۹/۱۷؛ تاریخ پذیرش: ۹۵/۱۲/۰۲

چکیده

بازدارندگی گرمایی به عنوان مهار موقت جوانه‌زنی یک جمعیت بذری در هنگام افزایش دمای خاک به فراتر از دمای بهینه برای جوانه‌زنی تعریف می‌شود. در این مطالعه، مدل زمان‌گرمایی بر مبنای چهار تابع توزیع احتمال نرمال، لوگ‌نرمال، گامبل و ویبول توسعه یافت و سپس پاسخ بازدارندگی گرمایی جوانه‌زنی بذر شش رقم بهاره کلزا (ساری گل، RGS003، دلگان، هایولا ۴۰۱، جری و ژولیوس) با استفاده از این مدل‌ها کمی‌سازی شد. آزمون جوانه‌زنی با ۴ تکرار در یازده دمای ثابت ۸، ۱۲، ۱۶، ۲۰، ۲۴، ۲۸، ۳۲، ۳۳، ۳۴، ۳۵ و ۳۶ درجه سانتی‌گراد انجام و کل آزمایش ۳ مرتبه تکرار شد. مدل جوانه‌زنی-گرمایی نرمال برای ارقام زودرس کلزا (دلگان و هایولا ۴۰۱) پیش‌بینی بهتری از پیشرفت جوانه‌زنی در طی زمان داشت، در حالی که مدل جوانه‌زنی-گرمایی گامبل رفتار جوانه‌زنی بذر ارقام میان‌رس کلزا (ساری گل، RGS003، جری و ژولیوس) را با خطای کمتری نسبت به سایر مدل‌ها پیش‌بینی کرد. ارقام زودرس کلزا به طور متوسط در دماهای ۳۳/۵۲ و ۳۴/۳۷ درجه سانتی‌گراد به ترتیب ۵، ۵۰ و ۹۵ درصد بازدارندگی گرمایی جوانه‌زنی نشان دادند. در حالی که، بازدارندگی گرمایی موقت جوانه‌زنی در ارقام میان‌رس کلزا در دماهای ۳۳/۶۳، ۳۴/۳۴ و ۳۵/۵۹ درجه سانتی‌گراد به ترتیب به ۵، ۵۰ و ۹۵ درصد از حداقل رسید. این پاسخ بازدارندگی موقت جوانه‌زنی در ارقام کلزا نوعی سازگاری اکولوژیکی بذر محسوب می‌شود و می‌تواند به بقاء آن تحت شرایط متغیر دمای خاک در طی فصل تابستان و ظهور این گیاه به عنوان علف‌هرز خودرو در فصل پاییز کمک کند.

واژه‌های کلیدی: توزیع گامبل، توزیع نرمال، دماهای بیش‌بهینه، مدل جوانه‌زنی-گرمایی

مقدمه

جوانه‌زنی با افزایش دما از دمای پایه (T_b) تا دمای بهینه (T_0) به طور خطي افزایش و با افزایش بیشتر دما در دماهای بیش‌بهینه کاهش می‌یابد و درنهایت جوانه‌زنی در دمای سقف یا بیشینه (T_m) متوقف می‌شود (Bewley et al., 2013). به طور کلی، افزایش سرعت جوانه‌زنی در پاسخ به افزایش دما با ترمودینامیک تأثیر دما بر رشد گیاه مطابقت دارد (Huo and Bradford, 2015). با این حال، سازوکارهای مولکولی کاهش سرعت جوانه‌زنی در دماهای بیش‌بهینه ناشناخته است (Huo et al., 2013).

چرخه زندگی بسیاری از گیاهان گل‌دار با جوانه‌زنی بذر آغاز می‌شود. بیشتر بذرها برای پیشگیری از جوانه‌زنی زودرس بر روی بوته مادری در طول دوره نمو و یا اطمینان از وجود شرایط محیطی بهینه برای رشد گیاهچه، سطوح مختلفی از خواب اولیه را نشان می‌دهند (Huo and Bradford, 2015). علاوه بر خواب اولیه، بذرها ممکن است در پاسخ به شرایط محیطی نامساعد مانند تنش‌های دمایی یا آبی وارد خواب ثانویه شوند (Hilhorst, 2007). دما یکی از عوامل عمده مؤثر بر تنظیم تغییرات فصلی وضعیت خواب بذر است (Bewley et al., 2013).

توزیع احتمال بسته به نوع رفتار جوانهزنی بذر گونه ها (Watt et al., 2011; Mesgaran et al., 2013; Derakhshan et al., 2016) ممکن است منجر به توصیف منا سبتر دوره های زمانی جوانهزنی در این مدل ها گردد. در این مطالعه، مدل زمان گرمایی بر مبنای چهارتابع توزیع احتمال نرمال، لوگنرمال، گامبل و ویبول توسعه یافت و الگوهای جوانهزنی بذر شش رقم بهاره کلزا در پاسخ به دماهای بیش بهینه (واکنش بازدارندگی گرمایی بذرها) با استفاده از این مدل ها کمی سازی شد.

مواد و روش ها

آزمایش در سال ۱۳۹۵ در آزمایشگاه تکنولوژی بذر دانشگاه علوم کشاورزی و منابع طبیعی خوزستان اجرا شد. در این مطالعه، پاسخ جوانهزنی بذر شش رقم بهاره کلزا شامل ساری گل، RGS003، دلگان، هایولا ۴۰۱، جرجی و ژولیوس به د مورد ارزیابی قرار گرفت. جرجی و ژولیوس از ارقام وارداتی از کشور آلمان می باشند و بذر سایر ارقام در داخل کشور تولید و در مناطق مختلف کشت و کار می شوند. بذر هایی که در این پژوهش جهت کمی سازی پاسخ بازدارندگی گرمایی جوانهزنی استفاده شد از یک آزمایش مقایسه رامین خوزستان به دست آمد. آزمون جوانهزنی در محیط کنترل شده انکوباتور (مدل COLD CB629) در دماهای ثابت ۸، ۱۲، ۱۶، ۲۰، ۲۴، ۲۸، ۳۲، ۳۳ و ۳۵ و ۳۶ ($\pm 0.2^\circ$) درجه سانتی گراد انجام شد. برای هر رقم، آزمون جوانهزنی در قالب طرح کاملاً تصادفی با چهار تکرار اجرا و کل آزمایش ۳ مرتبه تکرار شد. هر پتری دیش به عنوان یک تکرار در نظر گرفته شد. سطح بذرها پیش از اجرای آزمایش با محلول ۰/۵ درصد سدیم هیپوکلریت به مدت ۱۵ ثانیه ضد عفنونی و سپس با آب مقطر شستشو داده شدند. در هر تکرار، ۱۰۰ بذر روی کاغذ صافی و اتمن شماره یک در پتری دیش پلاستیکی ۹ سانتی متری قرار گرفت و سپس کاغذهای صافی با ۷ میلی لیتر آب مقطر مرتبط شدند. برای کاهش تلفات آب از طریق تبخیر، پتری دیش ها با پارافیلم پوشانده شدند و آبیاری پتری دیش ها در صورت نیاز انجام شد. به منظور هم دمایی آب مقطر با دمای انکوباتور، آب مقطر ۲۴ ساعت قبل از شروع آزمایش در انکوباتور قرار گرفت

اصطلاحات «بازدارندگی گرمایی^۱» و «خواب گرمایی^۲» برای توصیف رفتار جوانهزنی بذرها در پاسخ به دماهای بالا مورد استفاده قرار می گیرند، هرچند تفاوت های ظریفی بین این دو اصطلاح وجود دارد. بازدارندگی گرمایی به وضعیتی اشاره دارد که در آن بذر هایی که در دمای بالا آبنوشه می کنند، جوانه دار نمی شوند، اما بلا فاصله پس از آن که دما کاهش یافته به سرعت جوانه می زند (Huo et al., 2013); بنابراین، این فرآیند نوعی مهار موقعت جوانهزنی است که به سادگی می تواند از طریق کاهش درجه حرارت رفع شود. در مقابل، خواب گرمایی به طور معمول به نوعی از خواب ثانویه اشاره دارد که در اثر مواجهه شدن بذر های در حال آبنوشه با دماهای بالا القاء شده و از جوانهزنی بذرها جلوگیری می کند. این بذرها بلا فاصله پس از کاهش درجه حرارت جوانهزنی نخواهند داشت و نوع پایدارتری از خواب را نشان می دهند که برای رفع آن به شرایط شکست خواب بذر مثل سرماده یا پیش تیمارهای هورمونی نیاز است (Toh et al., 2012). به طور کلی هر دو فرآیند در دماهای به مراتب کمتر از دمای Huo and Bradford (2015) بیشینه برای جوانهزنی رخ می دهد. این نوع رفتار جوانهزنی اغلب با چرخه زندگی سالانه متداول در اقلیمهای مدیترانه ای با زمستان های مرتبط و Nascimento et al., (2013). در این مناطق، جوانهزنی بذر هایی که در اوایل تابستان ریزش می کنند تا فرار سینه دماهای خنک تر و بارش های مطمئن تر فصل پاییز به تأخیر می افتد.

مفهوم زمان گرمایی^۳ را می توان برای توصیف رفتار جوانهزنی بذرها در پاسخ به دماهای بیش بهینه بکار برد Covell et al., 1986; Watt et al., 2011; Bewley et al., 2013

$$T_{m(g)} = T + (\theta_{T_m} / t_g) \quad [1]$$

که در این رابطه $T_{m(g)}$ دمای بیشینه برای احتمال جوانهزنی هر کسر بذری معین t_g ، دمای T ، θ_{T_m} زمان گرمایی موردنیاز برای جوانهزنی بذرها در دماهای بیش بهینه و t_g ، زمان جوانهزنی هر کسر بذری معین t_g هستند. تنوع t_g درون جمعیت بذری به طور معمول با کاربرد توزیع احتمال Covell et al., 1986; Alvarado (and Bradford, 2002).

³ Thermal-time

¹ Thermoinhibition

² Thermodormancy

استاندارد با میانگین صفر و خطای استاندارد یک و Φ . تبدیل لاپلاس انتگرال یاتابع توزیع تجمعی برای توزیع نرمال استاندارد با میانگین صفر و خطای استاندارد یک است. پارامتر μ در توزیع نرمال میانگین (میانه یا مد) توزیع T_m (یعنی $T_{m(50)}$) یا دمایی که در آن 50% درصد از بذرها بازدارندگی گرمایی جوانهزنی نشان می‌دهند) و پارامتر σ اندازه پراکنش توزیع T_m (یعنی σ_{T_m}) را نشان می‌دهند. مدل جوانهزنی- گرمایی برای تابع توزیع احتمال نرمال (روابط ۲ و ۳) را می‌توان با جایگذاری رابطه (۱) بجای متغیر x , $T_{m(50)}$ و σ_{T_m} بجای μ و σ به صورت زیر بازنویسی کرد:

$$T_{m(g)} = T_{m(50)} + \sigma_{T_m} \text{probit}(G_{\max} - g) \quad [4]$$

$$g = G_{\max} - \left(\Phi \left(\frac{\left(T + \left(\frac{\theta_{T_m}}{t_g} \right) \right) - T_{m(50)}}{\sigma_{T_m}} \right) \right) \quad [5]$$

در این روابط، G_{\max} حداکثر جوانهزنی را نشان می‌دهد و در مواردی که درصد نهایی جوانهزنی هیچ‌گاه به 100% نمی‌رسد، می‌تواند باعث افزایش دقت پیش‌بینی مدل شود. cdf توزیع احتمال لوگ‌نرمال به صورت زیر تعریف می‌شود:

$$g = \Phi \left(\frac{(\ln(x-\delta)) - \sigma}{\lambda} \right) \quad [6]$$

که در این رابطه δ ، پارامتر آستانه و λ ، پارامتر شکل هستند. پارامتر λ چگونگی خم منحنی را مشخص می‌کند و به توزیع شکل‌پذیری بالایی می‌دهد. با اضافه کردن پارامتر G_{\max} و جایگذاری رابطه (۱) بجای متغیر x و σ_{T_m} بجای σ ، مدل جوانهزنی- گرمایی لوگ‌نرمال به صورت زیر تعریف می‌شود:

$$g = G_{\max} - \left(\Phi \left(\frac{\left(\ln \left(\left(T + \left(\frac{\theta_{T_m}}{t_g} \right) \right) - \delta \right) - \sigma_{T_m} \right)}{\lambda} \right) \right) \quad [7]$$

ppf توزیع لوگ‌نرمال جهت پیش‌بینی ($T_{m(g)}$) هست:

$$T_{m(g)} = \delta + \exp \left(\sigma_{T_m} + \lambda \cdot \text{probit}(G_{\max} - g) \right) \quad [8]$$

(Ghaderi-Far et al., 2010). بذرهایی که ریشه‌چه آنها بهاندازه 2 میلی‌متر یا بیشتر خارج شده بود، جوانه‌زده در نظر گرفته شدند. تعداد بذرهای جوانه‌زده روزانه 4 یا 5 مرتبه شمارش شد.

در همه ارقام کلزا، سرعت جوانهزنی با افزایش δ ما فزایش یافت و در دمای 32°C درجه سانتی‌گراد به حدکثر رسید (نتایج نشان داده نشده است). سرعت و درصد نهایی جوانهزنی در دماهای فراتر از این حد کاهش نشان داد و درنهایت جوانهزنی بسته به نوع رقم در دمای 35°C (هایولا 40°C و دلگان) یا 36°C درجه سانتی‌گراد (ساری گل، RGS003، جوی و ژولیوس) به طور کامل متوقف شد (نتایج را ببینید). پس از اتمام دوره زمانی جوانهزنی، بذرهایی که در محدوده دمایی بین 32°C تا 36°C درجه سانتی‌گراد قادر به جوانهزنی نبودند به انکوباتوری با دمای 20°C درجه سانتی‌گراد منتقال داده شدند. ارقام مختلف کلزا فرآیند بازدارندگی گرمایی موقت جوانهزنی نشان دادند، به طوری که کاهش دمای محیط آبنوشتی منجر به جوانهزنی سریع بذرها شد (Huo and Bradford, 2015) و درنهایا بیت جوانهزنی در همه ارقام به حدکثر مقدار مورد انتظار رسید؛ بنابراین، داده‌های جوانهزنی مربوط به این محدوده دمایی جهت کمی‌سازی پاسخ بازدارندگی گرمایی جوانهزنی استفاده شد. درصد جوانهزنی تجمعی برای هر تکرار از هر رقم و رژیم دمایی در هر ساعت شمارش محاسبه گردید و میانگین سه آزمایش مکرر جهت تجزیه آماری بکار رفت. برای کمی‌سازی واکنش جوانهزنی به دما، چهار تابع توزیع احتمال نرمال، لوگ‌نرمال، گامبل و ویبول در مدل زمان گرمایی (رابطه ۱) گنجانیده و مورد مقایسه قرار گرفتند. توزیع تجمعی وارونه^۱ (ppf) برای پیش‌بینی ($T_{m(g)}$) و تابع توزیع تجمعی^۲ (cdf) برای پیش‌بینی درصد جوانهزنی (g) بر مبنای توزیع احتمال نرمال به صورت زیر تعریف می‌شود:

$$T_{m(g)} = \mu + \sigma \cdot \text{probit}(g) \quad [2]$$

$$g = \Phi \left(\frac{x - \mu}{\sigma} \right) \quad [3]$$

که در این روابط x متغیر تصادفی (در اینجا $T_{m(g)}$)، μ پارامتر جایگاه و σ پارامتر پراکنش می‌باشند. $\text{probit}(g)$ تبدیل پربویت یا توزیع تجمعی وارونه برای توزیع نرمال

² Cumulative distribution function (cdf)

¹ Inverse cumulative distribution (percentage point function, ppf)

[۱۳]

ppf توزیع ویبول جهت پیش‌بینی $T_{m(g)}$ به صورت زیر تعریف می‌شود:

$$T_{m(g)} = \mu + \sigma_{T_m} \cdot [-\ln(1 - (G_{max} - g))]^{\frac{1}{\lambda}} \quad [۱۴]$$

برازش مدل‌ها به داده‌های تجمعی ارقام کلزا با استفاده از نرم‌افزار SAS و روش PROC NLMIXED انجام شد. برای ارزیابی برآورد مدل‌ها از شاخص ریشه میانگین مربعات خطای (RMSE) و برای انتخاب بهترینتابع توزیع از شاخص آکائیک (AIC) استفاده شد (Burnham and Anderson, 2002).

$$AIC = n \cdot \ln\left(\frac{RSS}{n}\right) + 2k \quad [۱۵]$$

که RSS، جمع مربعات باقیمانده، n، تعداد نمونه و k، تعداد پارامترهای مدل موردنظر است. بهترین مدل در مقایسه مدل‌ها، مدلی است که کمترین میزان AIC محاسبه شده را دارا باشد.

نتایج و بحث

در هیچ یک از ارقام کلزا اختلاف معنی‌داری میان مدل‌های جوانه‌زنی-گرمایی از نظر برآورد G_{max} وجود نداشت (جدول ۱). حداقلر جوانه‌زنی رقم هایولا ۴۰۱ بر مبنای مدل‌های مختلف به طور متوسط در حدود ۹۶ درصد و برای سایر ارقام کلزا بالاتر از ۹۸ درصد برآورد شد. برآورد ثابت زمان‌گرمایی (θ_{T_m}) برای رقم ژولیوس بر مبنای توزیع‌های آماری مختلف بین ۳۲/۱۷ تا ۳۹/۹۵ درجه سانتی‌گراد ساعت متغیر بود. برای سایر ارقام، اختلاف معنی‌داری میان مدل‌های جوانه‌زنی-گرمایی از نظر برآورد θ_{T_m} وجود نداشت و به طور متوسط بین ۳۱/۹۰ درجه سانتی‌گراد ساعت برای رقم RGS003 تا ۳۷/۱۰ درجه سانتی‌گراد ساعت برای رقم جری به دست آمد (جدول ۱). کوچک‌تر بودن ضریب θ_{T_m} نشان می‌دهد که سرعت جوانه‌زنی در سطوح گوناگون دمایی برای آن رقم بالاتر است (Watt et al., 2011) و ازین‌رو می‌تواند برای مقایسه ارقام و گونه‌های مختلف گیاهی از این حیث بکار برده شود.

پارامتر $T_{m(50)}$ (دمایی که در آن ۵۰ درصد از بذرها بازدارندگی موقت گرمایی نشان می‌دهند) بر مبنای مدل

توزیع گامبل، نوع اول از سه نوع توزیع احتمال مقدار کرانه تعیین‌یافته^۱ است. از آنجایی که $T_{m(g)}$ یک مقدار کرانه است (یعنی $T_{m(g)}$ حداقل دمای موردنیاز برای توقف جوانه‌زنی یک کسر بذری معین است)، به نظر می‌رسد این توزیع‌ها به خوبی قادر به پیش‌بینی جوانه‌زنی در پاسخ به دماهای بیشینه می‌باشند.

$$g = \exp\left[-\exp\left(-\left(\frac{(x-\mu)}{\sigma}\right)\right)\right] \quad [۹]$$

با اضافه کردن پارامتر G_{max} به مدل و جایگذاری رابطه (۱) بجای متغیر x و σ_{T_m} بجای σ، مدل جوانه‌زنی-گرمایی برای تابع توزیع احتمال گامبل به صورت زیر تعریف می‌شود:

$$g = G_{max} - \exp\left[-\exp\left(-\left(\frac{\left(\left(T + \left(\frac{\theta_{T_m}}{t_g}\right)\right) - \mu\right)}{\sigma_{T_m}}\right)\right)\right] \quad [۱۰]$$

ppf توزیع گامبل جهت پیش‌بینی $T_{m(g)}$ به صورت زیر تعریف می‌شود:

$$T_{m(g)} = \mu + \sigma_{T_m} \cdot \left[\ln\left(\ln\left(\frac{1}{G_{max}-g}\right)\right) \right] \quad [۱۱]$$

توزیع ویبول نوع سوم از توزیع‌های احتمال مقدار کرانه تعیین‌یافته است. df توزیع ویبول به صورت زیر تعریف می‌شود:

$$g = 1 - \left[\exp\left(-\left(\frac{(x-\mu)}{\sigma}\right)^{\lambda}\right) \right] \quad [۱۲]$$

چنانچه مقدار λ بین ۳/۷ تا ۳/۴ باشد، توزیع ویبول به تقریب متقارن و به توزیع نرمال نزدیک است. زمانی که λ کوچک‌تر یا بزرگ‌تر از این مقادیر باشد، توزیع ویبول به ترتیب چوله به راست یا چپ خواهد بود. با اضافه کردن پارامتر G_{max} به مدل و جایگذاری رابطه (۱) بجای متغیر x و σ_{T_m} بجای σ، مدل جوانه‌زنی-گرمایی ویبول به صورت زیر تعریف می‌شود:

$$g = G_{max} - \left[1 - \exp\left(-\left(\frac{\left(\left(T + \left(\frac{\theta_{T_m}}{t_g}\right)\right) - \mu\right)}{\sigma_{T_m}}\right)^{\lambda}\right) \right] \quad [۱۳]$$

^۱ Generalized Extreme Value probability distribution

(RMSE) نشان داد که مدل جوانهزنی-گرمایی مبتنی بر توزیع لوگنرمال برآشن ناکارآمدی به داده‌های جوانهزنی دو رقم دلگان و هایولا ۴۰۱ داشت، به طوری که این مدل جوانهزنی این دو رقم را با خطای بیش از ۹ درصد (RMSE) برآورد کرد (جدول ۱). مقادیر AIC نشان داد که مدل جوانهزنی-گرمایی نرمال بیشترین دقت پیش‌بینی ($T_{m(g)}$) را برای هر دو رقم دلگان (AIC=-237.5) و هایولا ۴۰۱ (AIC=-168.8) داشت. برای این ارقام، مدل مبتنی بر توزیع ویبول نیز از دقت پیش‌بینی بالایی برخوردار بود. در مورد سایر ارقام، کمترین مقادیر AIC برای مدل جوانهزنی-گرمایی گامبل به دست آمد، درحالی که مدل‌های مبتنی بر توزیع‌های نرمال و ویبول کمترین کارایی را در توصیف رفتار جوانهزنی این چهار رقم داشتند (جدول ۱). برآشن مدل‌های جوانهزنی-گرمایی با بیشترین و کمترین دقت پیش‌بینی دوره‌های زمانی جوانهزنی برای هر یک از ارقام کلزا در شکل ۱ نشان داده شده است.

جوانهزنی ارقام دلگان و هایولا ۴۰۱ برخلاف سایر ارقام در دمای ۳۵ درجه سانتی‌گراد به‌طور کامل متوقف شد. در این ارقام، زمان درنگ برای شروع جوانهزنی در دمای ۳۴ درجه سانتی‌گراد بیشتر از سایر ارقام کلزا و درصد نهایی جوانهزنی در این دما کمتر از سایرین بود (شکل ۱). برآشن بهتر مدل‌های جوانهزنی-گرمایی نرمال و ویبول به داده‌های جوانهزنی این دو رقم را می‌توان به نوع رفتار جوانهزنی آن‌ها نسبت داد؛ به عبارت دیگر، اریب نسبی توزیع ($T_{m(g)}$) به چپ در ارقام زودرس کلزا سبب شد تا مدل‌های جوانهزنی-گرمایی نرمال، ویبول و تا حدودی مدل مبتنی بر توزیع گامبل برآشن بهتری به داده‌های جوانهزنی تجمعی آن‌ها داشته باشند، درحالی که توزیع لوگنرمال چوله به راست است (Derakhshan et al., 2016).

رابطه بین T_m مشاهده‌شده و پیش‌بینی شده برای کسرهای مختلف جوانهزنی با استفاده از مدل‌های جوانهزنی-گرمایی نرمال (ارقام دلگان و هایولا ۴۰۱) و گامبل (ارقام ساری‌گل، RGS003، جری و ژولیوس) در شکل ۲ ارائه شده است. بر مبنای توزیع تجمعی وارونه توزیع احتمال نرمال، برای احتمال جوانهزنی ۵ درصد ($T_{m(5)}$) یا دمای بیشینه برای ۹۵ درصد بازدارندگی گرمایی جوانهزنی) برای ارقام دلگان و هایولا ۴۰۱ به ترتیب معادل $34/39$ و $34/35$ درجه سانتی‌گراد، برای احتمال جوانهزنی ۵۰ درصد ($T_{m(50)}$) یا دمای بیشینه برای ۵۰ درصد بازدارندگی گرمایی

جوانهزنی-گرمایی نرمال برای ارقام مختلف کلزا بین $33/99$ تا $34/42$ درجه سانتی‌گراد برآورد شد (جدول ۱). پارامترهای ۸ و ۱۱ در مدل‌های جوانهزنی-گرمایی لوگنرمال و ویبول ($T_{m(Gmax)}$) را نشان می‌دهند، یعنی دمایی که در آن بذرها حداکثر درصد جوانهزنی (G_{max}) را دارا هستند و در دماهای فراتر از آن پاسخ بازدارندگی گرمایی جوانهزنی در بذرها مشاهده می‌شود. برای رقم جری، برآورد این پارامتر بر مبنای مدل‌های جوانهزنی-گرمایی لوگنرمال $32/95 \pm 0/1$ درجه سانتی‌گراد (و ویبول $33/11 \pm 0/1$ درجه سانتی‌گراد) از نظر آماری متفاوت بود، اما این دو مدل برای هر یک از ارقام دیگر برآورد مشابهی از ($T_{m(Gmax)}$) به‌طور متوسط بین $32/66$ درجه سانتی‌گراد برای رقم دلگان تا $33/01$ درجه سانتی‌گراد برای رقم RGS003 (جدول ۱). برآورد پارامتر ۱۱ بر مبنای مدل جوانهزنی-گرمایی گامبل برای ارقام دلگان و هایولا ۴۰۱ ($33/91$ درجه سانتی‌گراد) به‌طور معنی‌داری کمتر از رقم ژولیوس ($34/04$) درجه سانتی‌گراد) و برای آن نیز به‌طور معنی‌داری کمتر از سایر ارقام کلزا (به‌طور متوسط $34/16$ درجه سانتی‌گراد) بود (جدول ۱). چنانچه ($T_{m(g)}$) از توزیع گامبل تبعیت کند، آنگاه کسر بذرهای جوانهزنی در $\mu = T_{m(g)}$ به تقریب برابر است با $G_{max} - 0.366$ (برخلاف توزیع نرمال که معادل $0/50$ از حداکثر جوانهزنی است). درواقع، آماره ۱۱ در مدل جوانهزنی-گرمایی گامبل مقدار مذکور توزیع ($T_{m(g)}$) را نشان می‌دهد (Derakhshan et al., 2016). برای ارقام مختلف کلزا، اندازه پراکنش ($T_{m(g)}^5$) بر مبنای مدل‌های جوانهزنی-گرمایی نرمال بین $0/24$ تا $0/67$ ، لوگنرمال بین $1/1$ تا $1/65$ ، گامبل بین $0/19$ تا $0/54$ و ویبول بین $1/30$ تا $1/21$ متغیر بود. برآورد پارامتر شکل (λ) برای ارقام مختلف کلزا بر مبنای مدل جوانهزنی-گرمایی لوگنرمال بین $0/20$ تا $0/47$ و بر مبنای مدل جوانهزنی-گرمایی ویبول بین $2/21$ تا $2/38$ متغیر بود (جدول ۱). پارامتر شکل توزیع ویبول به‌وضوح نشان داد که ارقام زودرس و میانرس کلزا رفتار جوانهزنی متفاوتی در پاسخ به دماهای بیش‌بهینه داشتند. به‌طوری که، توزیع ($T_{m(g)}$) برای ارقام زودرس کلزا (دلگان و هایولا ۴۰۱) چوله به چپ ($\lambda > 3.7$) و برای ارقام میانرس (سایر ارقام) تا حدودی چوله به راست ($\lambda < 3.4$) بود (جدول ۱).

ارزیابی نکوبی برآشن مدل‌ها نشان داد که دقت مدل‌های جوانهزنی-گرمایی در توصیف رفتار جوانهزنی ارقام کلزا متفاوت بود (جدول ۱). مقادیر ریشه میانگین مربعات خطا

جدول ۱. برآورد پارامترها و ارزیابی نیکویی برآش مدل‌های جوانهزنی-گرمایی مورداً ستفاده برای تو صیف رفتار جوانهزنی ارقام کلزا در پاسخ به دماهای بیش‌بینه.

Table 1. Parameters estimates and assessing the goodness of fit for thermal-germination models used for describing the germination behavior of oilseed rape (*Brassica napus L.*) cultivars in response to supra-optimal temperature range.

رقم Cultivar	توزيع Distribution	پارامترهای مدل Model parameters*						نیکویی برآش Goodness of fit	
		G _{max} (%)	θ _{Tm} (°C h)	T _{m(50)} (°C)	μ (°C)	σ _{Tm}	λ	AIC	RMSE
Sarigol	Normal	99.01±0.04	34.57±0.82	34.34±0.03	-	0.59±0.03	-	-173.8	0.0469
	Lognormal	98.85±0.07	34.75±0.62	-	32.91±0.32	0.33±0.22	0.41±0.09	-201.2	0.0361
	Gumbel	99.38±0.80	34.71±0.62	-	34.12±0.02	0.49±0.02	-	-202.9	0.0362
	Weibull	98.89±0.08	33.27±0.76	-	32.92±0.03	1.58±0.03	2.60±0.11	-178.1	0.0450
RGS003	Normal	99.98±0.06	31.62±0.99	34.42±0.03	-	0.67±0.03	-	-147.7	0.0592
	Lognormal	98.91±1.15	33.17±0.77	-	33.04±0.02	0.31±0.02	0.47±0.02	-168.5	0.0464
	Gumbel	100.60±1.12	31.33±0.74	-	34.15±0.03	0.54±0.02	-	-173.8	0.0469
	Weibull	99.98±0.05	31.47±1.05	-	32.98±0.02	1.58±0.04	2.38±0.13	-150.1	0.0619
Dalgan	Normal	99.52±0.51	33.79±0.43	33.99±0.01	-	0.25±0.01	-	-237.5	0.0329
	Lognormal	100.05±0.58	34.71±1.43	-	32.87±0.01	0.10±0.04	0.24±0.03	-157.5	0.0917
	Gumbel	100.75±1.41	33.49±0.58	-	33.88±0.02	0.21±0.01	-	-219.6	0.0380
	Weibull	98.47±0.59	34.01±0.41	-	32.44±0.85	1.65±0.86	7.21±4.05	-236.8	0.0325
Hyola 401	Normal	96.04±0.08	32.62±0.66	34.03±0.02	-	0.24±0.02	-	-168.8	0.0518
	Lognormal	96.03±0.08	34.70±1.51	-	32.87±0.01	0.14±0.04	0.20±0.03	-124.7	0.0984
	Gumbel	96.18±0.42	32.50±0.69	-	33.94±0.03	0.19±0.02	-	-165.7	0.0532
	Weibull	96.93±0.82	32.73±0.66	-	32.82±0.02	1.30±0.02	5.84±0.53	-165.3	0.0527
Jerry	Normal	99.92±0.05	37.25±0.53	34.40±0.02	-	0.54±0.02	-	-215.4	0.0307
	Lognormal	99.60±0.17	37.45±0.40	-	32.46±0.41	0.65±0.21	0.27±0.06	-246.8	0.0230
	Gumbel	98.96±0.50	37.49±0.40	-	34.22±0.02	0.45±0.01	-	-247.7	0.0233
	Weibull	99.97±0.04	36.21±0.54	-	33.01±0.01	1.56±0.02	2.62±0.07	-220.5	0.0298
Julius	Normal	99.80±0.07	32.17±0.62	34.20±0.02	-	0.46±0.02	-	-117.5	0.0612
	Lognormal	99.79±0.11	34.36±0.48	-	32.95±0.01	0.24±0.01	0.37±0.01	-214.0	0.0230
	Gumbel	99.80±0.12	32.86±0.45	-	34.04±0.01	0.41±0.01	-	-226.3	0.0233
	Weibull	99.80±0.09	39.95±1.38	-	33.11±0.01	1.43±0.04	2.40±0.13	-186.0	0.0407

* =G_{max}=حداکثر درصد جوانهزنی؛ θ_{Tm}=زمان گرمایی بیش‌بینه؛ T_{m(50)}=دماهای بیشینه برای مانع از جوانهزنی ۵۰ درصد از جمعیت بذری؛ μ=پارامتر جایگاه یا آستانه گرمایی؛ σ_{Tm}=انحراف استاندارد توزیع دماهای بیشینه جمعیت بذری؛ RMSE=روش میانگین مربعات خطای شاخص آکائیک.

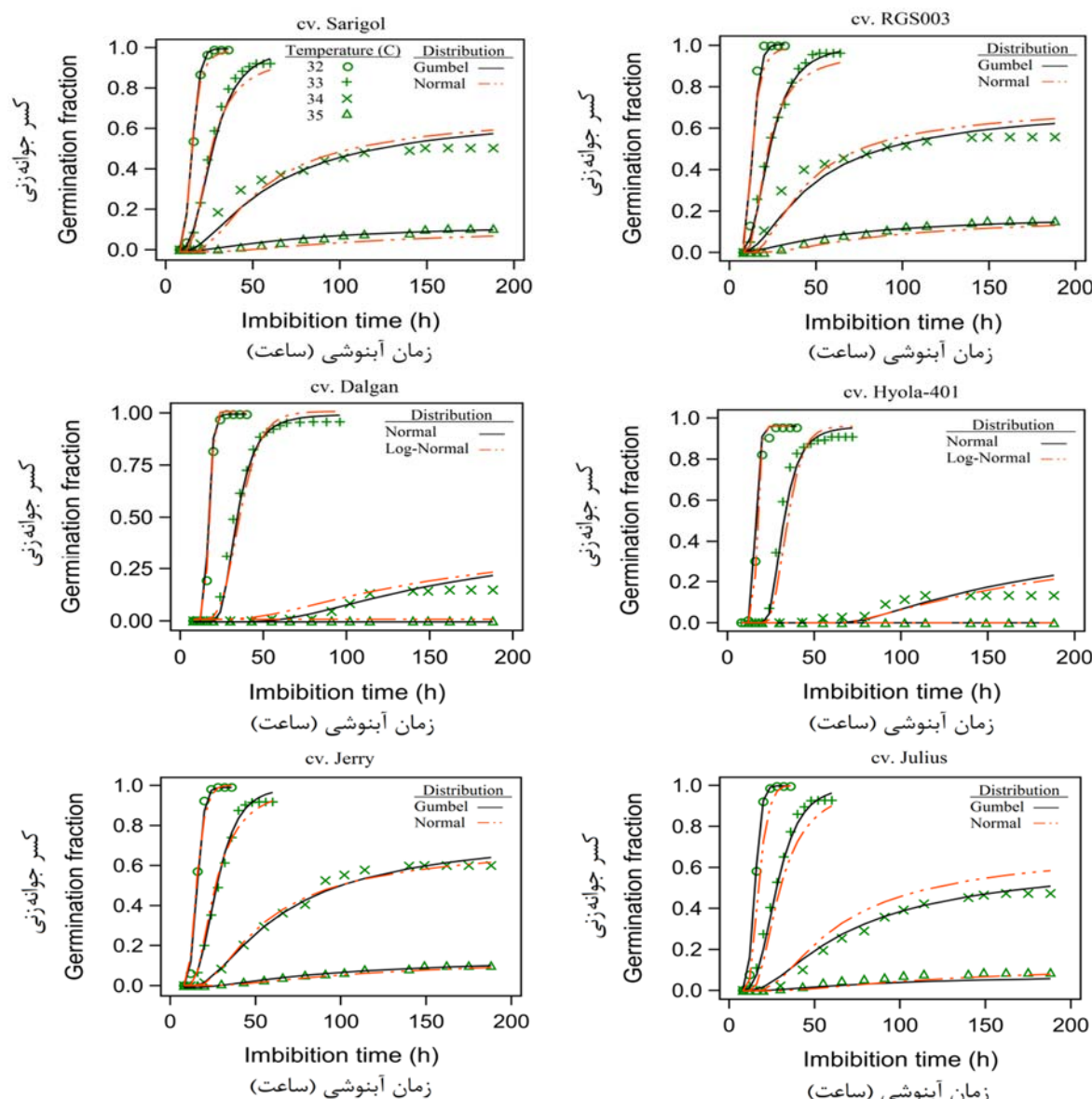
* G_{max}= Maximum germination percentage; θ_{Tm}= Supra-optimal thermal-time; T_{m(50)}= The maximum temperature to inhibit 50% germination of seed population; μ= Location or thermal-threshold parameter; σ_{Tm}= Standard deviation of the normal distribution of maximum temperatures in seed population; RMSE=Root Mean Square Error; AIC=Akaike Information Criteria

پیش‌بینی شد. بر اساس پیش‌بینی مدل، جوانهزنی ارقام دلگان و هایولا ۴۰۱ به ترتیب در دماهای ۳۴/۴۵ و ۳۴/۴۶ درجه سانتی گراد به طور کامل متوقف شد (شکل ۲). همچنین، T_{m(5)}, T_{m(50)} و T_{m(95)} برای رقم ساری گل به

جوانهزنی) به ترتیب معادل ۳۳/۹۹ و ۳۴/۰۳ و درجه سانتی گراد و برای احتمال جوانهزنی ۹۵ درصد (T_{m(95)}) یا دماهای بیشینه برای ۵ درصد بازدارندگی گرمایی جوانهزنی) به ترتیب معادل ۳۳/۵۶ و ۳۳/۴۷ درجه سانتی گراد

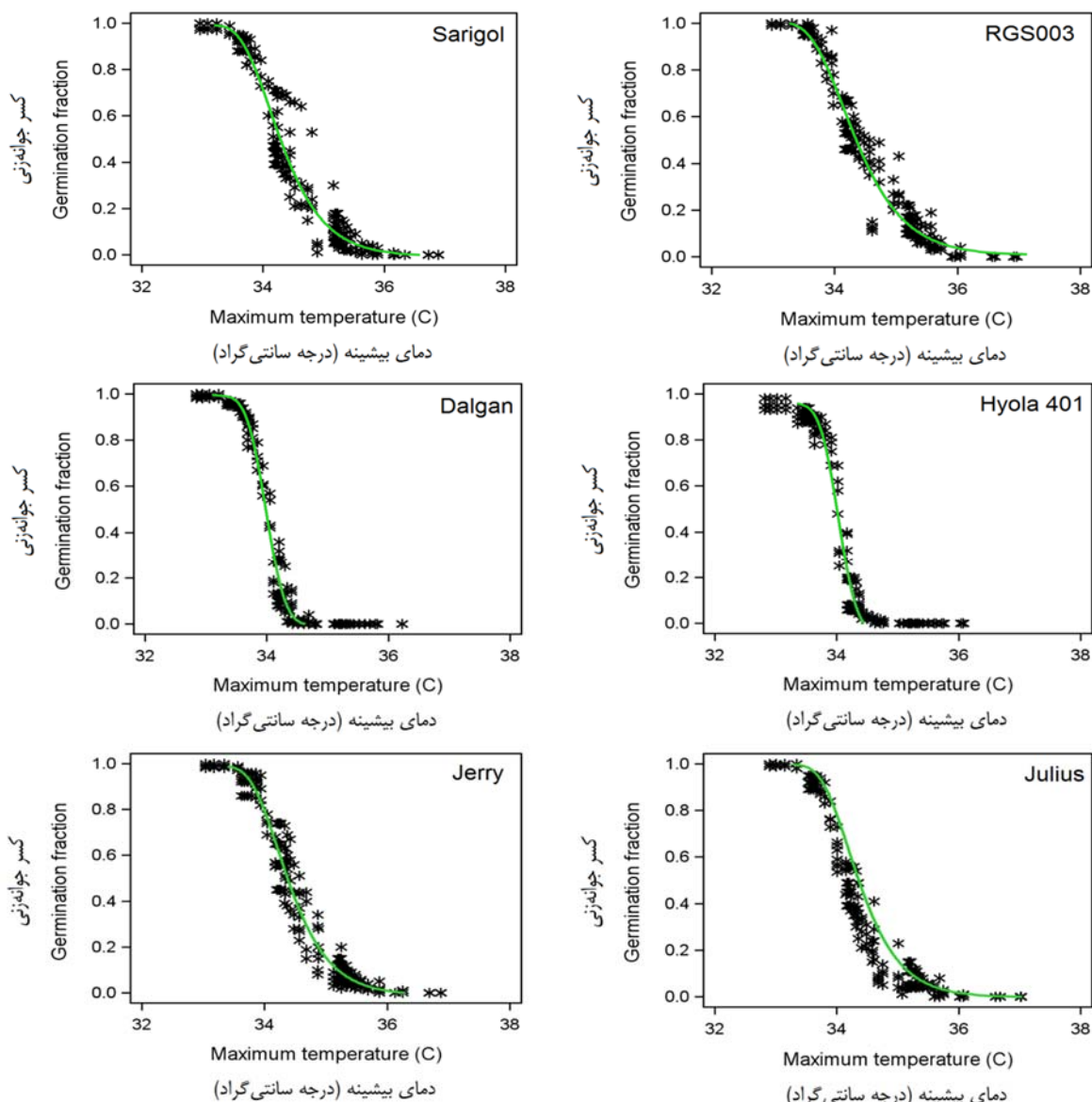
ترتیب در دماهای ۳۶/۵۹، ۳۶/۶۳، ۳۶/۳۰ و ۳۷/۰۴ درجه سانتی‌گراد به طور کامل متوقف شد (شکل ۲). بر این اساس می‌توان اظهار داشت که ارقام میان‌رس کلزا تا حدودی دامنه تحمل بالاتری به دماهای بیش‌بهینه نشان می‌دهند و فرآیند بازدارندگی موقت در صد می‌معنی از جوانهزنی در آن‌ها در دمای به نسبت بالاتری رخ خواهد داد.

ترتیب معادل ۳۵/۵۰، ۳۴/۲۹ و ۳۳/۵۶ درجه سانتی‌گراد، برای رقم RGS003 به ترتیب معادل ۳۴/۳۵، ۳۵/۸۲ و ۳۴/۳۵ درجه سانتی‌گراد، برای رقم جری به ترتیب معادل ۳۳/۵۷، ۳۴/۶۹ و ۳۴/۳۸ درجه سانتی‌گراد و برای رقم ژولیوس به ترتیب معادل ۳۴/۴۸، ۳۵/۵۴ و ۳۴/۳۶ درجه سانتی‌گراد پیش‌بینی شد. بر اساس پیش‌بینی مدل، جوانهزنی ارقام ساری‌گل، RGS003، جری و ژولیوس به



شکل ۱. جوانهزنی تجمعی ارقام مختلف کلزا در پاسخ به دماهای بیش‌بهینه (نمادها) و برازش مدل‌های جوانهزنی-گرمایی با کمترین (خط) و بیشترین (خط نقطه) دقت پیش‌بینی.

Fig. 1. Cumulative germination of different oilseed rape cultivars in response to supra-optimal temperature range (symbols) and fitted thermal-germination models with the lowest (line) and highest (dashdotted) prediction accuracy.



شکل ۲. رابطه بین دمای بیشینه م شاهده شده (نماد) و پیش‌بینی شده (خط) برای کسرهای مختلف جوانه‌زنی ($T_{m(g)}$) با استفاده از مدل‌های جوانه‌زنی-گرمایی نرمال (ارقام دلگان و هایولا ۴۰۱) و گامبل (ارقام ساری‌گل، RGS003، جری و ژولیوس)

Fig. 2. The relationship between observed (symbol) and predicted (line) maximum temperatures ($T_{m(g)}$) for various fractions of germination using the Normal (Dalgan and Hyola 401) and Gumbel (Sarigol, RGS003, Jerry and Julius) thermal-germination models.

$T_{m(50)}$ و σ_{T_m} توصیف کاملی از رفتار جوانه‌زنی یک جمعیت بذری فراهم آورده و امکان مقایسه پا سخ جوانه‌زنی گونه‌ها و ارقام مختلف به دماهای بیش‌بهینه را می‌سازد (Chantre et al., 2009). در این مطالعه، پارامتر G_{max} به مدل جوانه‌زنی-گرمایی مرسوم (مدل مبتنی بر توزیع نرمال) اضافه شد. این پارامتر در شرایطی که در حدود ۱۰۰ درصد نهایی جوانه‌زنی در دمای بیش‌بهینه به حدود نمی‌رسد (مانند رقم هایولا ۴۰۱) به طور قابل توجهی دقت

در مدل‌های جوانه‌زنی-گرمایی فرض می‌شود که زمان، سرعت و درصد نهایی جوانه‌زنی توسط اختلاف بین دمای محیط آبتوشی و T_m هر کسر جوانه‌زنی معین کنترل می‌شود (Hardegree, 2006; Chantre et al., 2009) به تقریب در همه مدل‌های جوانه‌زنی-گرمایی پیش‌بین فرض بر این بوده که $T_{m(g)}$ در داخل یک جمعیت بذری به طور نرمال توزیع می‌شود (Hardegree, 2006; del Monte et al., 2014). یکی از مزایای این فرض آن است که پارامترهای

سانتی گراد رخ داد (Andreucci et al., 2016). بازدارندگی گرمایی بذر در چندین گونه گیاهی دیگر از جمله کاهو (Gonai et al., 2004) (*Lactuca sativa L.*)، کلم چینی (Brassica rapa subsp. chinensis) و کلم پیچ (B. oleracea L. var. capitata) (Gornik et al., 1997) گزارش شده است. آبسیزیک اسید (ABA) به عنوان اصلی ترین تنظیم‌کننده بازدارندگی گرمایی جوانهزنی بذر Argyris et al., 2008; Huo and Linkies (Bradford, 2015) علاوه بر این، جاسمونات‌ها (Leubner-Metzger, 2012) ممکن است در تنظیم بازدارندگی گرمایی جوانهزنی بذر دخیل باشند. در مقابل، جیربرلین (Arc et al., 2013) و اتیلن (Huo and Bradford, 2015) جوانهزنی بذرها در دماهای بالا را تحریک می‌کنند. به‌حال، هرچند در دامنه دمایی محدود، این پاسخ بازدارندگی موقت جوانهزنی در ارقام کلزا نوعی سازگاری اکولوژیکی محسوب (Toh et al., 2012; Huo and Bradford, 2015) می‌شود و می‌تواند به بقاء بذر آن‌ها تحت شرایط متغیر دمای خاک در طی فصل تابستان و ظهور به عنوان علف‌هرز خودرو در فصل پاییز کمک کند.

نتیجه‌گیری

در مجموع، مدل‌های مختلفی بسته به نوع رفتار جوانهزنی بذر ارقام زودرس و میان‌رس کلزا برای پیش‌بینی احتمال جوانهزنی آن‌ها در پاسخ به دماهای بالا لازم بود. مدل‌های جوانهزنی-گرمایی ارائه شده در این پژوهش به خوبی پاسخ بازدارندگی گرمایی جوانهزنی مشاهده شده در ارقام کلزا را توصیف کردند. آستانه‌های گرمایی که در این مطالعه برای ارقام کلزا تعیین شد تفاوت پاسخ بازدارندگی گرمایی جوانهزنی این جمعیت‌های بذری را به خوبی تو ضیح می‌دهد. واکنش بازدارندگی گرمایی موقت جوانهزنی در بذرهای کلزا می‌تواند به بقاء آن‌ها در طول ماههای گرم تابستان حتی در شرایط وجود رطوبت کافی منتج شود و از این‌رو این فرآیند می‌تواند حضور این گیاه زراعی به عنوان علف‌هرز خودرو در کشت‌های پاییزه را توجیه می‌کند.

مدل در پیش‌بینی پیشرفت جوانهزنی در طی زمان را بهبود می‌بخشد. علاوه بر این، مدل جوانهزنی-گرمایی بر مبنای سه تابع توزیع احتمال لوگنرمال، گامبل و ویبول توسعه یافت. این مدل‌ها دارای پارامترهایی هستند که از نظر زیست‌شناسی معنی‌دار می‌باشند و هر یک قادر به ارائه توصیف کاملی از پاسخ بازدارندگی گرمایی جوانهزنی بذرها می‌باشند. نتایج مطالعه فعلی نشان داد که مدل جوانهزنی-گرمایی مرسوم حداقل در مورد برخی داده‌ها (ارقام میان‌رس کلزا) ممکن تو صیف ناکارآمدی از رفتار جوانهزنی بذرها ارائه دهد. واضح است که برآش توزیع فراوانی نرمال (که در آن میانگین، میانه و مد برابر هستند) به داده‌هایی که دارای چولگی به راست یا چپ می‌باشند (داده‌های نامتقارن)، منجر به اریب در پیش‌بینی زمان تا جوانهزنی خواهد شد.

چولگی توزیع $T_{m(g)}$ دارای مفاهیم بوم‌شناسی است (Watt et al., 2011) و در واقع توصیفی از رفتار جوانهزنی بذرها در پاسخ به دماهای بیش‌بهینه ارائه می‌دهد. چولگی توزیع $T_{m(g)}$ به چپ (ارقام زودرس) به این معناست که جمعیت بذری دارای ذخیری بیشتری از بذرهاست که مقدار T_m بسیار بالایی دارند. از آنجائی که سرعت و درصد جوانهزنی توسط اختلاف بین دمای محیط آبنوشی و T_m بذرها تعیین می‌شود، بنابراین کسر بزرگی از این جمعیت‌های بذری در دماهای بیش‌بهینه قادر به جوانهزنی نبوده یا به‌کندی جوانهدار می‌شود و در نهایت جمعیت بذری در دماهای پایین‌تری بازدارندگی گرمایی جوانهزنی نشان می‌دهد. بر عکس، چولگی توزیع $T_{m(g)}$ به راست در ارقام میان‌رس کلزا نشان می‌دهد که هر یک از این جمعیت‌ها دارای کسر بزرگ‌تری از بذرهاست با T_m بسیار کمتری هستند و از این‌رو بازدارندگی گرمایی کسر معینی از این جمعیت‌های بذری در دمای بالاتری رخ می‌دهد.

نتایج مطالعه فعلی نشان داد که ارقام بهاره کلزا در محدوده دمایی کوچکی پاسخ بازدارندگی گرمایی جوانهزنی نشان می‌دهند. این کاهش سرعت و درصد جوانهزنی در پاسخ به افزایش دما به میزان چند درجه سانتی گراد از دمای بهینه در مورد ارقام علوفه‌ای گونه‌های مختلف براسیکا نیز گزارش شده است (Andreucci et al., 2016). برای مثال، پاسخ بازدارندگی گرمایی جوانهزنی بذر در ارقام علوفه‌ای گونه *B. napus* در گستره دمایی بین ۳۳ تا ۳۸ درجه

منابع

- Alvarado, V., Bradford, K.J., 2002. A hydrothermal time model explains the cardinal temperatures for seed germination. *Plant, Cell and Environment*. 25, 1061-1069.
- Andreucci, M.P., Moot, D.J., Black, A.D., Sedcole, R., 2016. A comparison of cardinal temperatures estimated by linear and nonlinear models for germination and bulb growth of forage brassicas. *European Journal of Agronomy*. 81, 52-63.
- Arc, E., Sechet, J., Corbineau, F., Rajjou, L., Marion-Poll, A., 2013. ABA crosstalk with ethylene and nitric oxide in seed dormancy and germination. *Frontiers in Plant Science*. 4, 1-19.
- Argyris, J., Dahal, P., Hayashi, E., Still, D.W., Bradford, K.J., 2008. Genetic variation for lettuce seed thermoinhibition is associated with temperature-sensitive expression of abscisic acid, gibberellin, and ethylene biosynthesis, metabolism, and response genes. *Plant Physiology*. 148, 926–947.
- Bewley, J.D., Bradford, K.J., Hilhorst, H.W.M., Nonogaki, H., 2013. Seeds: Physiology of Development, Germination and Dormancy, 3rd ed. Springer, New York.
- Burnham, K.P., Anderson, D.R., 2002. Model Selection and Multimodel Inference: A Practical Information-Theoretic Approach. Springer, New York, USA.
- Chantre, G.R., Batlla, D., Sabbatini, M.R., Orioli, G., 2009. Germination parameterization and development of an after-ripening thermal-time model for primary dormancy release of *Lithospermum arvense* seeds. *Annals of Botany*. 103, 1291– 1301.
- Covell, S., Ellis, R.H., Roberts, E.H., Summerfield, R.J., 1986. The influence of temperature on seed germination rate in grain legumes. I. A comparison of chickpea, lentil, soybean, and cowpea at constant temperatures. *Journal of Experimental Botany*. 37, 705– 715.
- del Monte, J.P., Aguado, P.L., Tarquis, A.M., 2014. Thermal time model of *Solanum sarrachoides* germination. *Seed Science Research*. 24, 321 – 330.
- Derakhshan, A., Moradi-Telavat, M.R., Siadat, S.A., 2016. Hydrotime analysis of *Melilotus officinalis*, *Sinapis arvensis* and *Hordeum vulgare* seed germination. *Iranian Journal of Plant Protection*. 30, 518-532. [In Persian with English Summary]
- Ghaderi-far, F., Gherekhloo, J., Alimaghram, M., 2010. Influence of environmental factors on seed germination and seedling emergence of yellow sweet clover (*Melilotus officinalis*). *Planta Daninha*. 28, 463-469.
- Gonai, T., Kawahara, S., Tougou, M., Satoh, S., Hashiba, T., Hirai, N., Kawaide, H., Kamiya, Y., Yoshioka, T., 2004. Abscisic acid in the thermoinhibition of lettuce seed germination and enhancement of its catabolism by gibberellin. *Journal of Experimental Botany*. 55, 111–118.
- Gornik, K., de Castro, R.D., Liu, Y., Bino, Y.L., Groot, S.P.C., 1997. Inhibition of cell division during cabbage (*Brassica oleracea* L.) seed germination. *Seed Science Research*. 7, 333– 340.
- Hardegree, S.P., 2006. Predicting germination response to temperature. I. Cardinal-temperature models and sub-population specific regression. *Annals of Botany*. 97, 1115– 1125.
- Hilhorst, H.W.M., 2007. Definitions and hypotheses of seed dormancy. In Bradford, K.J., Nonogaki, H. (eds.), *Seed Development, Dormancy and Germination*. Blackwell Publishing, Oxford, pp. 50–71.
- Huo, H., Bradford, K.J., 2015. Molecular and hormonal regulation of thermoinhibition of seed germination. In Anderson, J.V. (ed.), *Advances in Plant Dormancy*. Springer International Publishing, Switzerland, pp. 3- 33.
- Huo, H., Dahal, P., Kunusoth, K., McCallum, C.M., Bradford, K.J., 2013. Expression of 9-cis-EPOXYCAROTENOID DIOXYGENASE4 is essential for thermoinhibition of lettuce seed germination but not for seed development or stress tolerance. *The Plant Cell*. 25, 884–900.
- Linkies, A., Leubner-Metzger, G., 2012. Beyond gibberellins and abscisic acid: how ethylene and jasmonates control seed germination. *Plant Cell Reports*. 31, 253–270.
- Mesgaran, M. B., Mashhadi, H. R., Alizadeh, H., Hunt, J., Young, K. R., Cousens, R. D., 2013. Importance of distribution function selection

- for hydrothermal time models of seed germination. *Weed Research.* 53, 89-101.
- Nascimento, W.M., Huber, D.J., Cantliffe, D.J., 2013. Carrot seed germination and respiration at high temperature in response to seed maturity and priming. *Seed Science and Technology.* 41, 164–169.
- Toh, S., Kamiya, Y., Kawakami, N., Nambara, E., McCourt, P., Tsuchiya, Y., 2012. Thermooinhibition uncovers a role for strigolactones in *Arabidopsis* seed germination. *Plant and Cell Physiology.* 53, 107–117.
- Watt, M.S., Bloomberg, M., Finch-Savage, W.E., 2011. Development of a hydrothermal time model that accurately characterises how thermooinhibition regulates seed germination. *Plant, Cell & Environment.* 34, 870–876.